

1/14

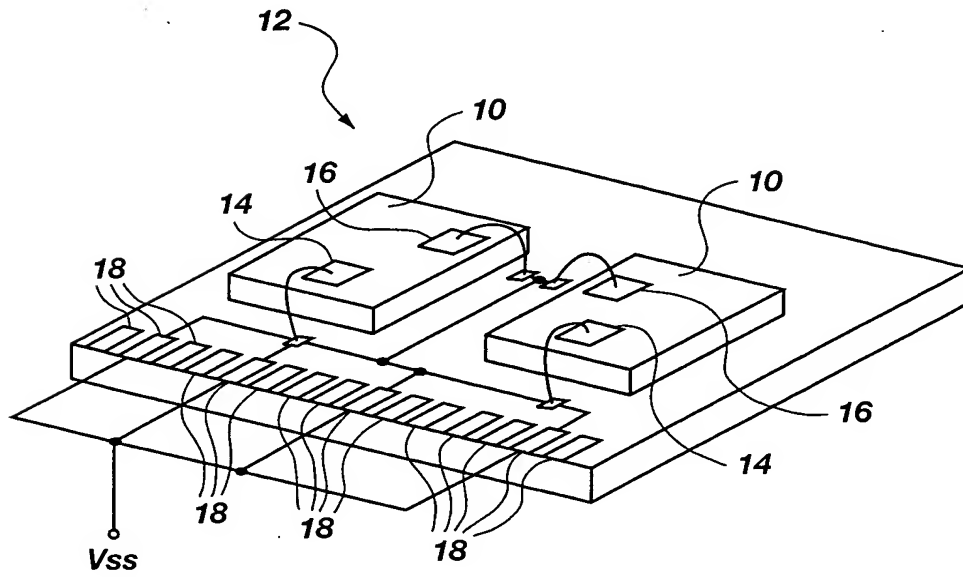


Fig. 1
(PRIOR ART)

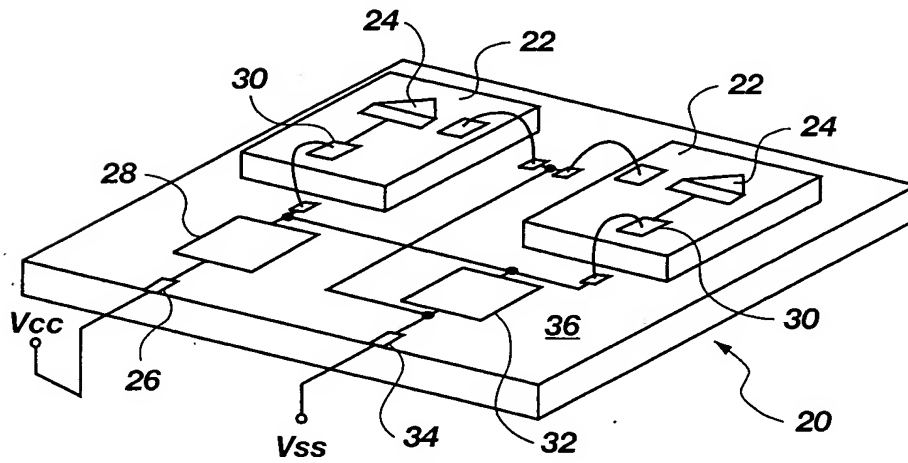


Fig. 2

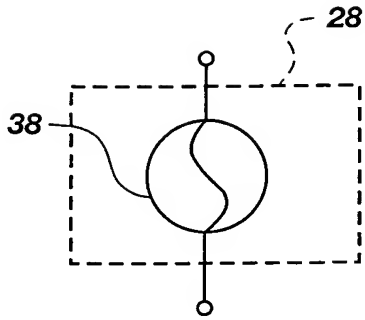


Fig. 3A

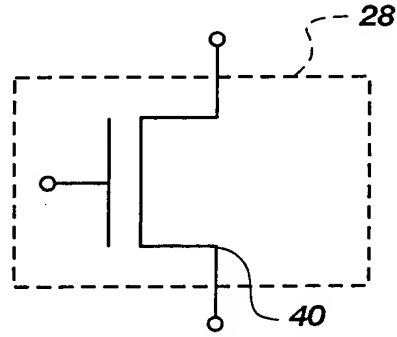


Fig. 3B

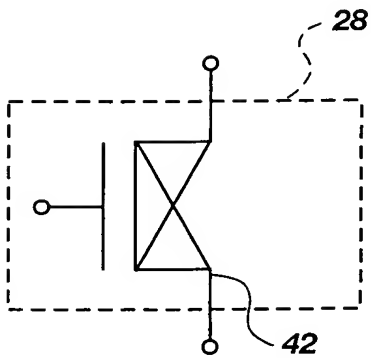


Fig. 3C

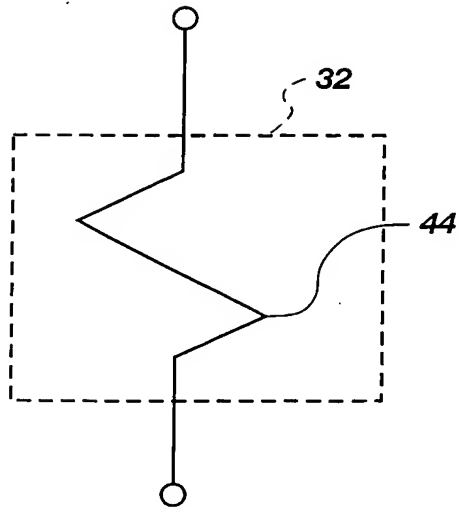


Fig. 4A

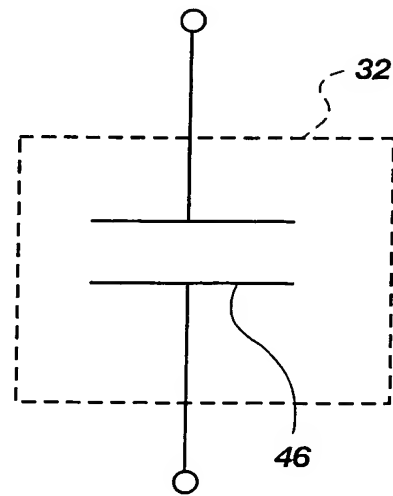


Fig. 4B

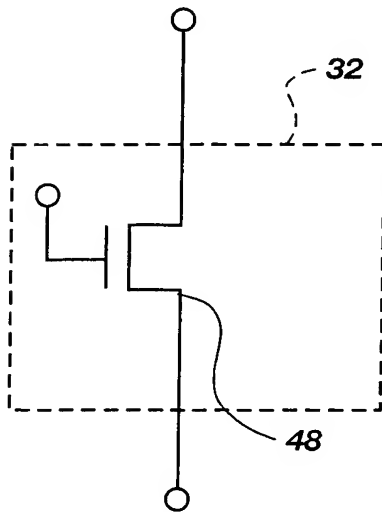


Fig. 4C

4/14

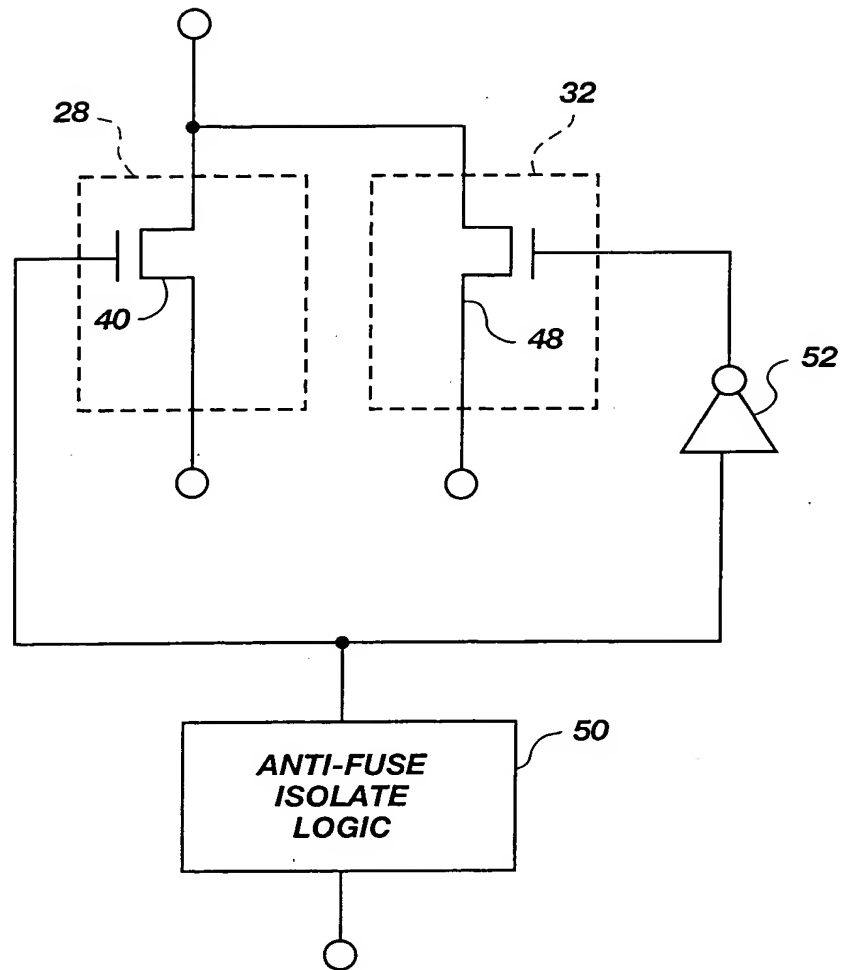


Fig. 5

5/14

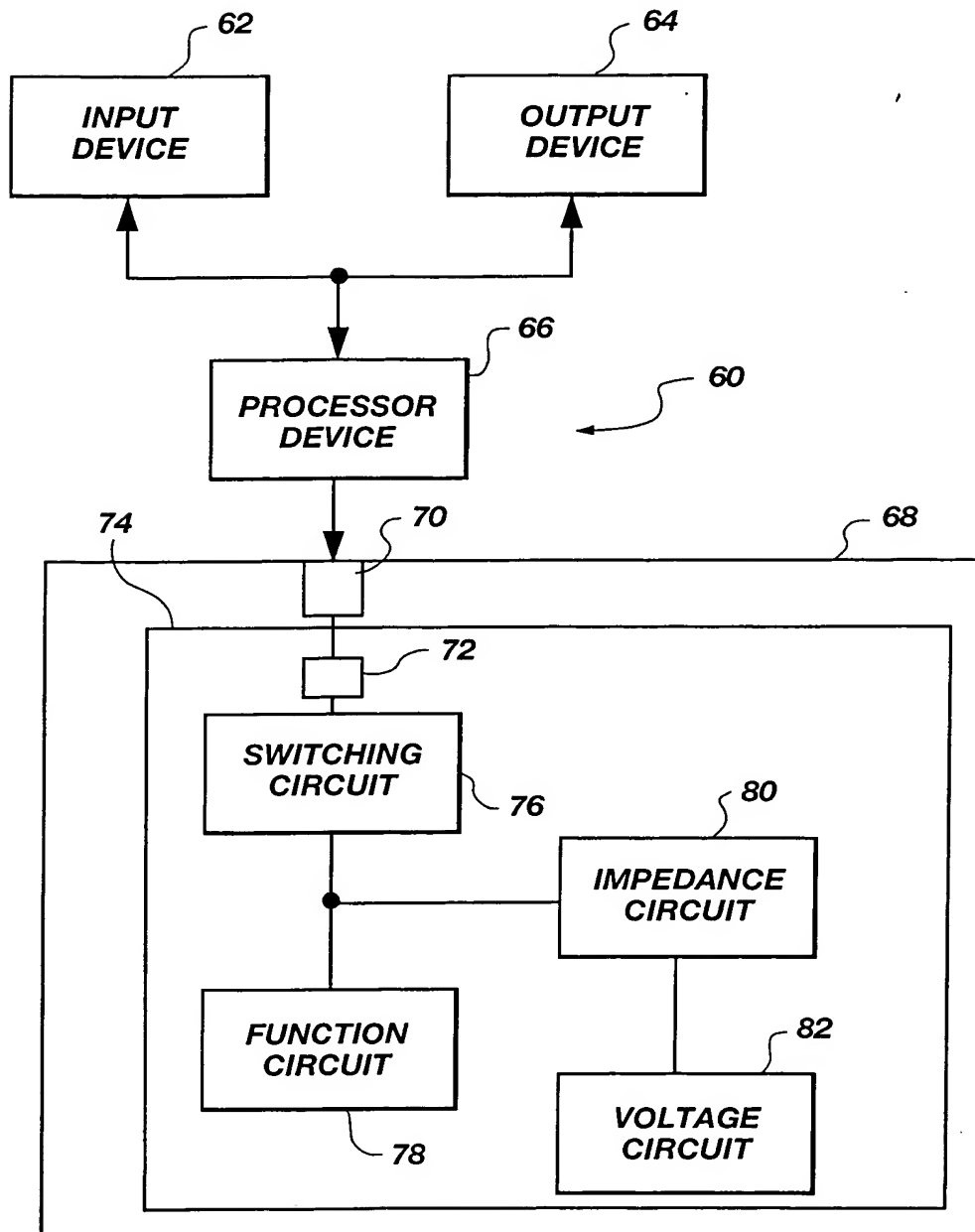


Fig. 6A

6/14

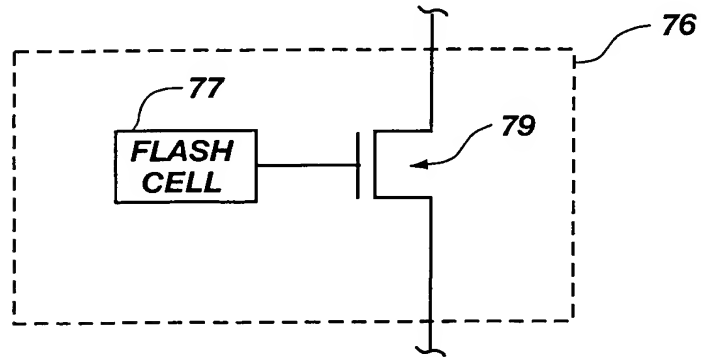


Fig. 6B

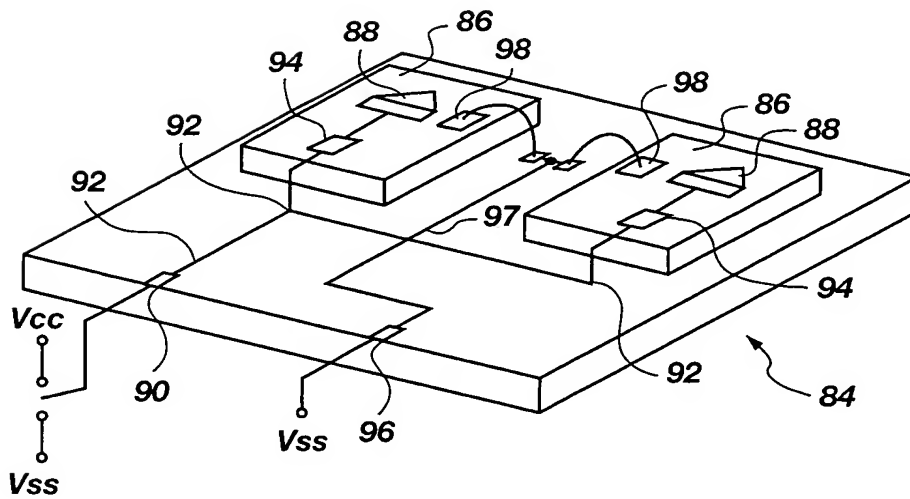


Fig. 7

7/14

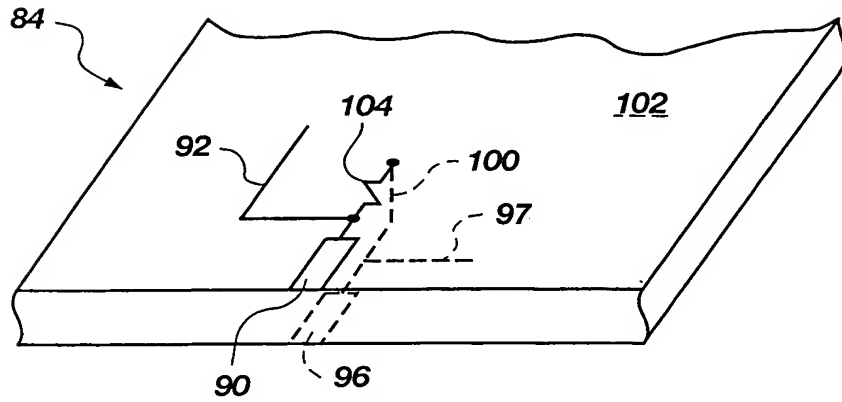


Fig. 8A

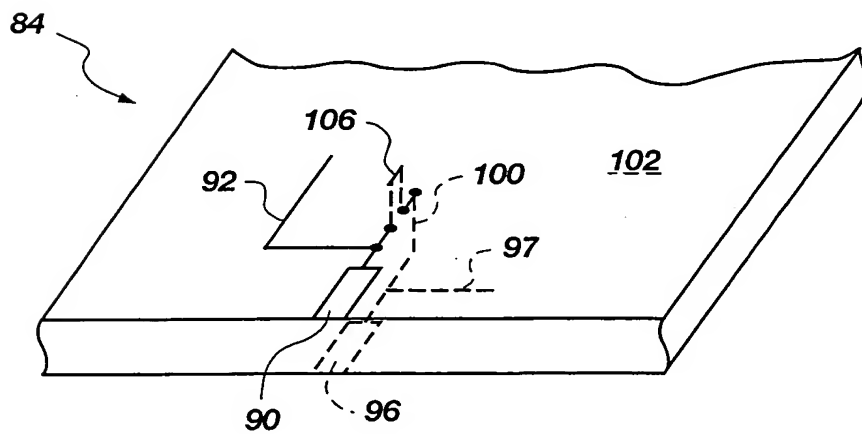


Fig. 8B

8/14

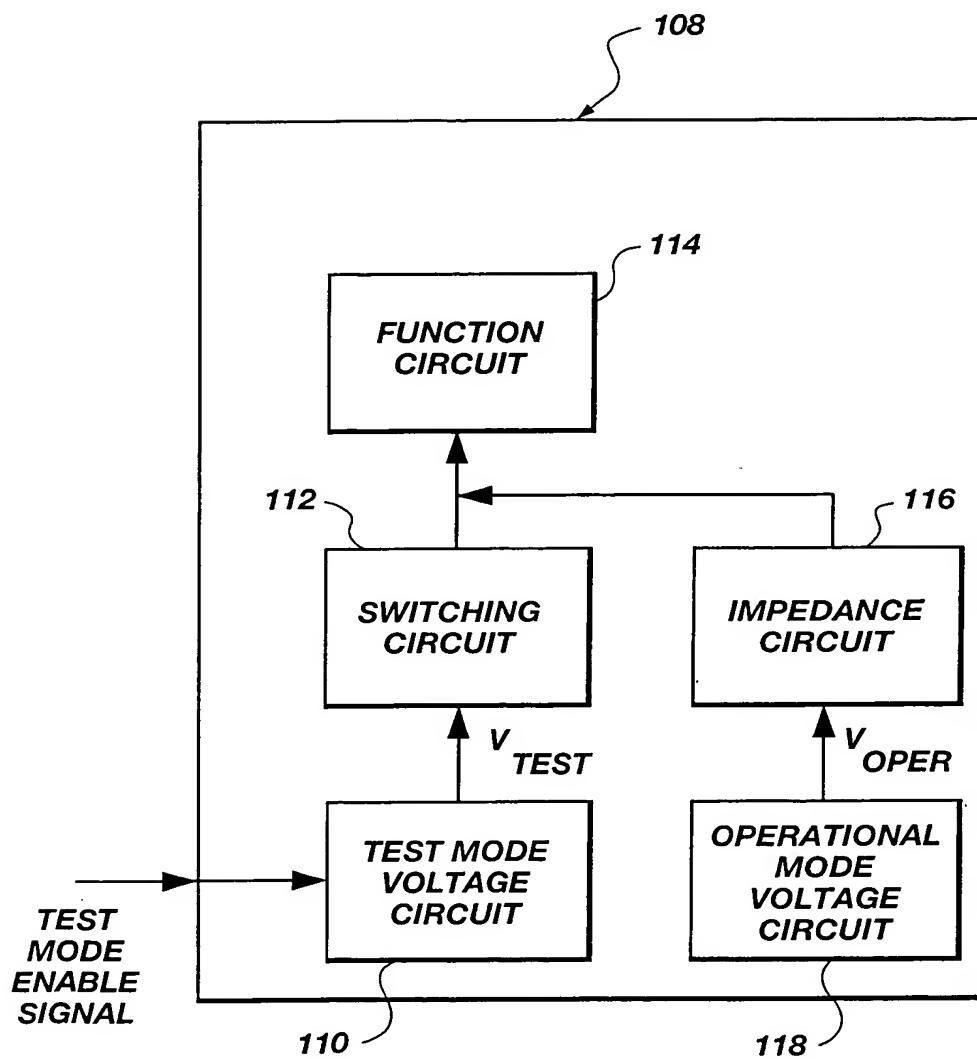


Fig. 9

9/14

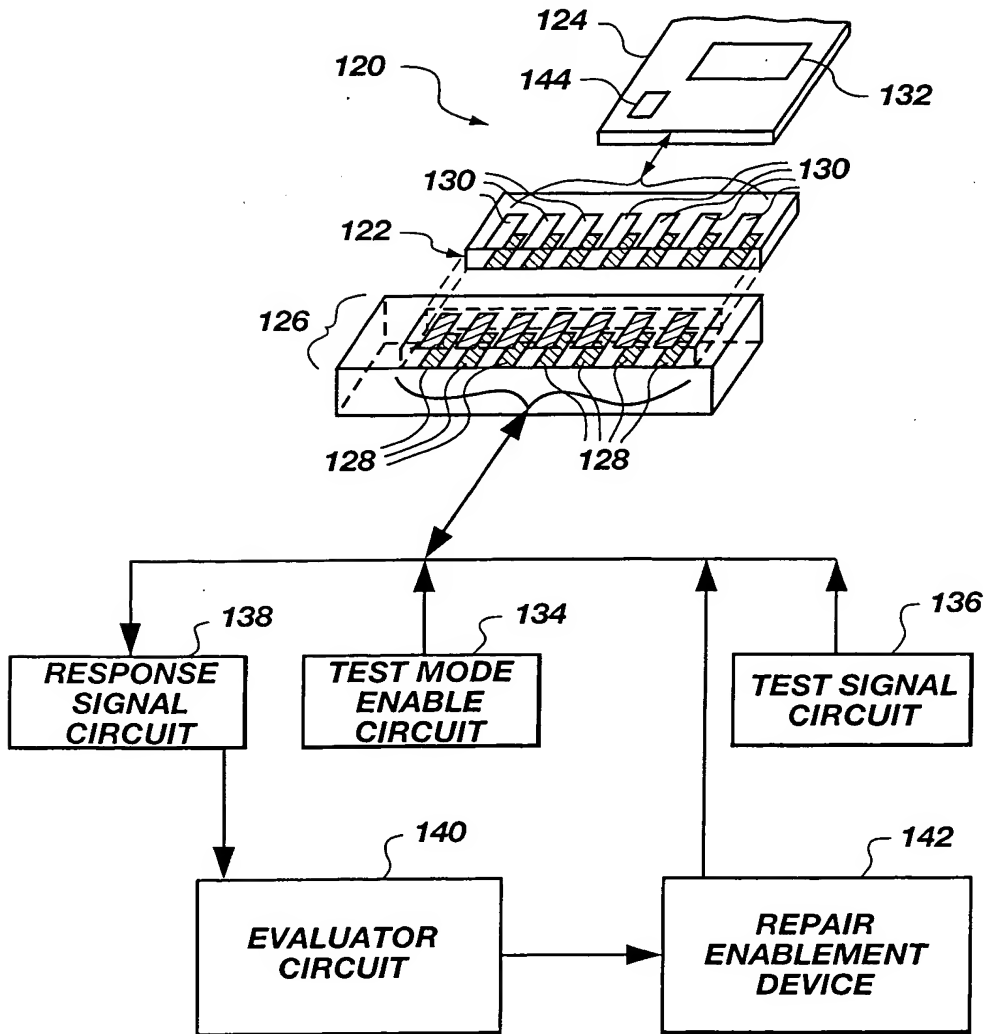


Fig. 10

10/14

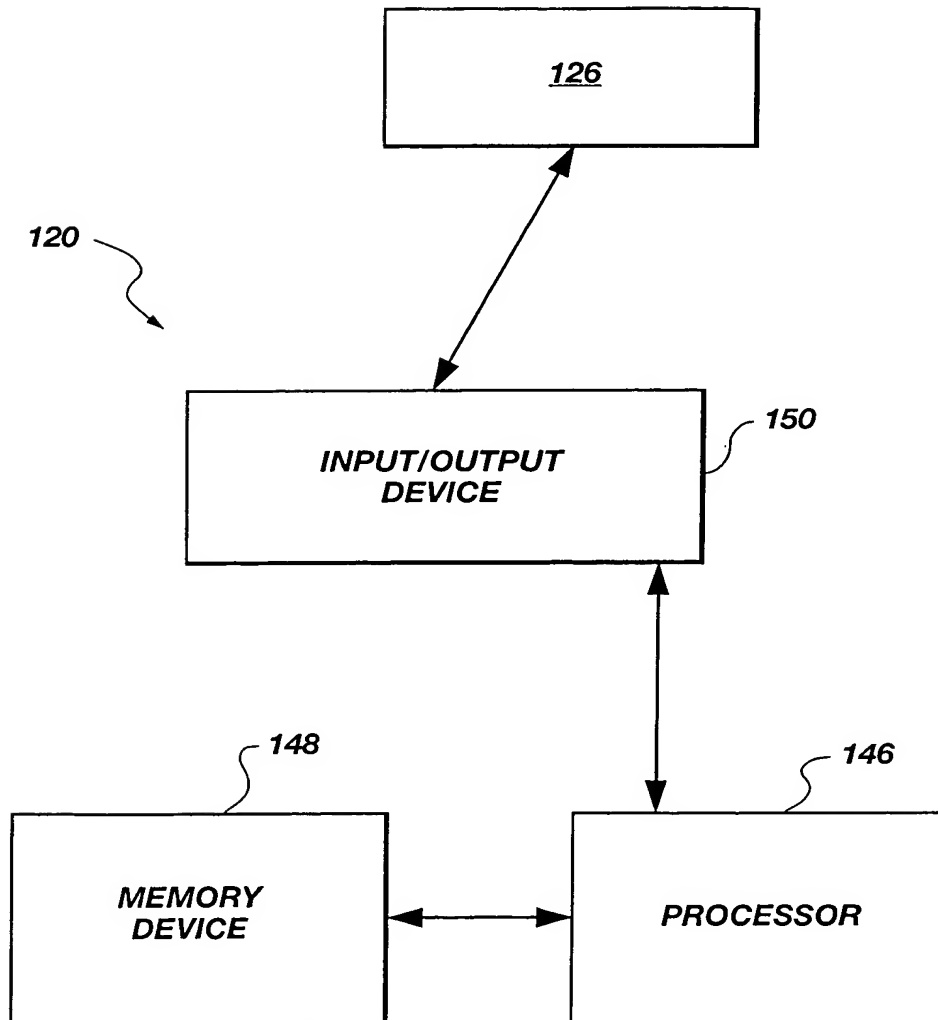


Fig. 11

11/14

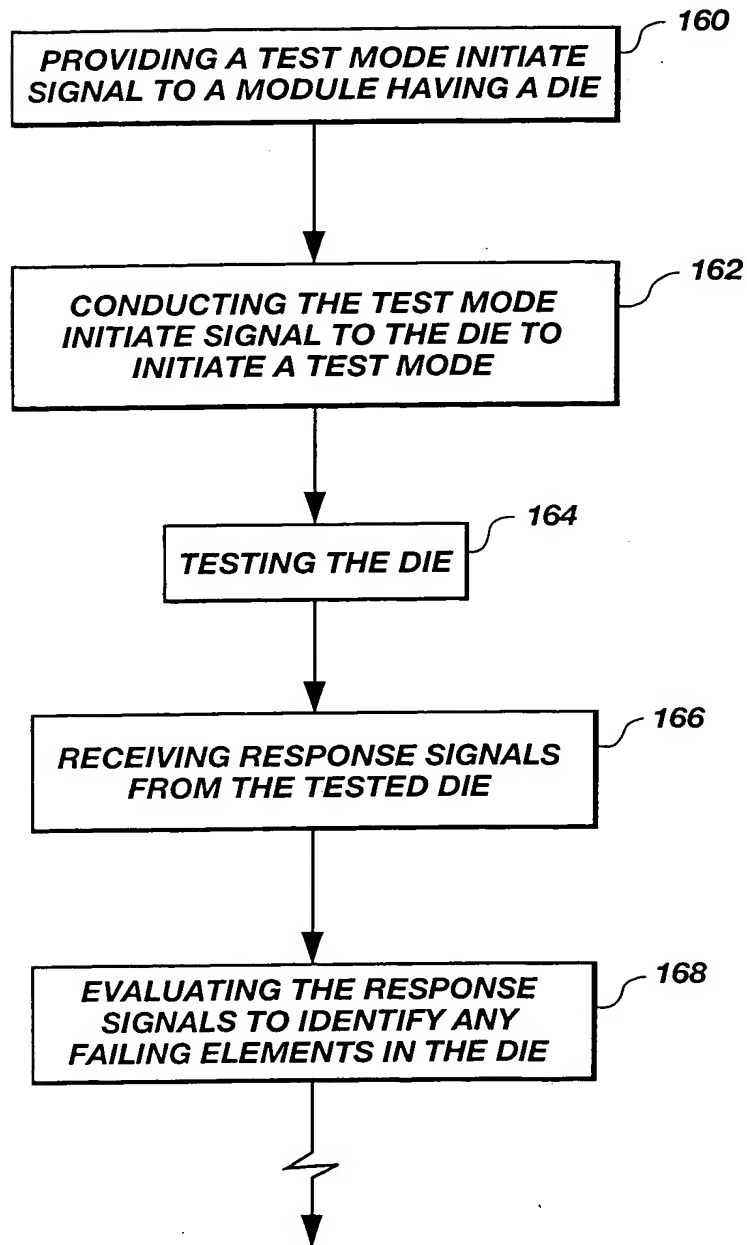


Fig. 12A

12/14

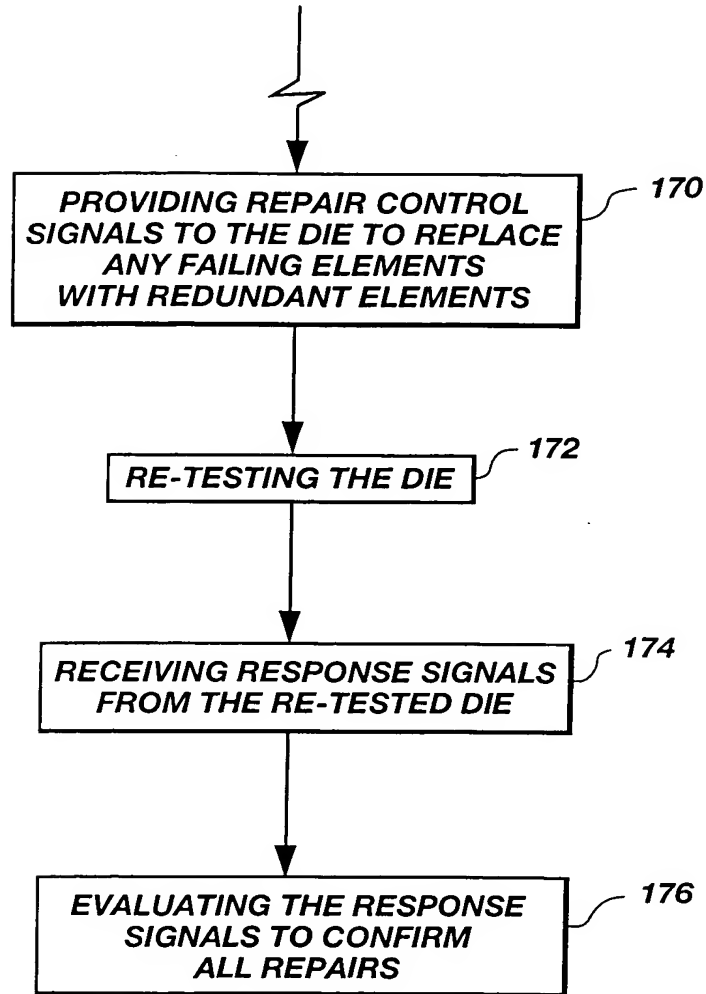


Fig. 12B

13/14

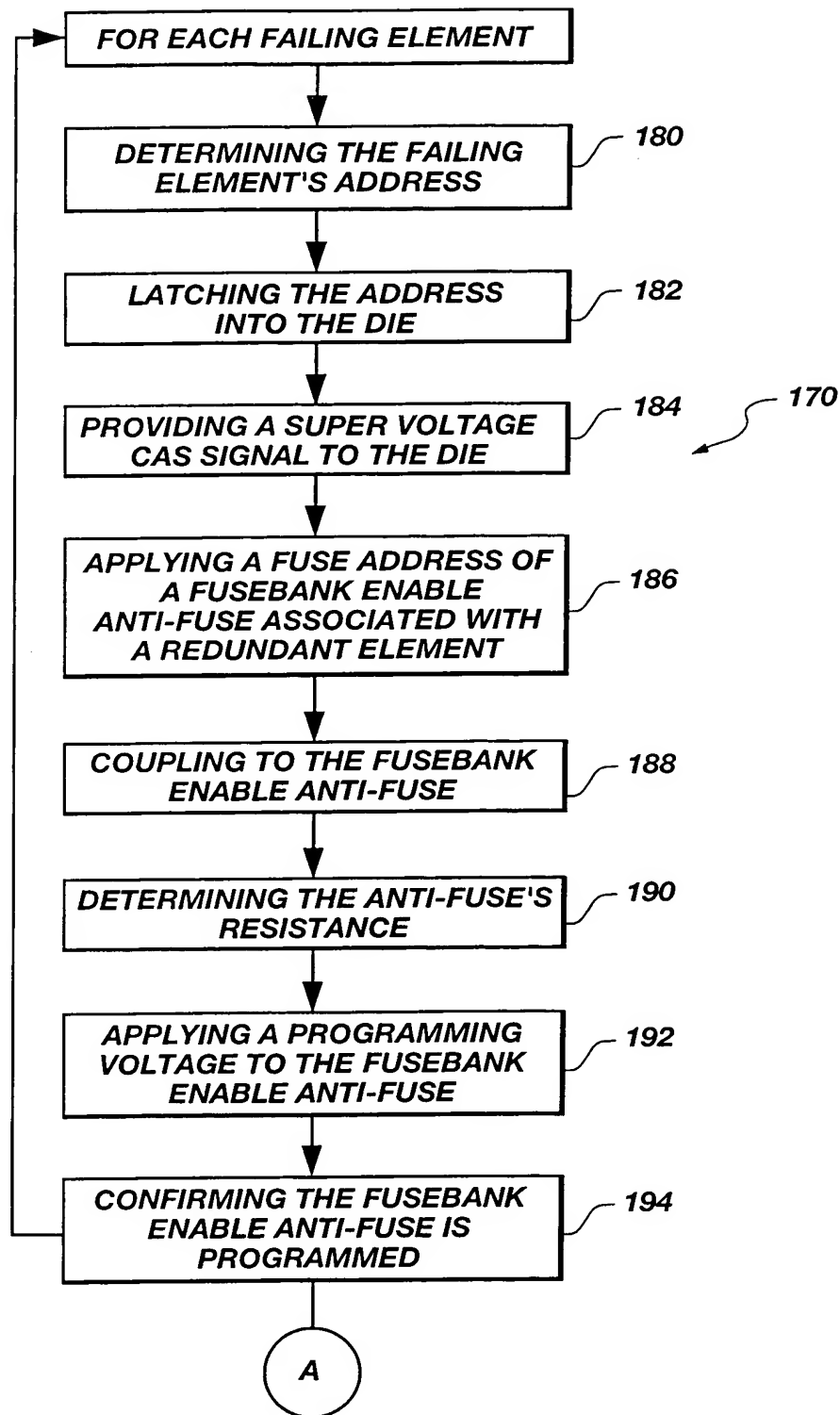


Fig. 13A

14/14

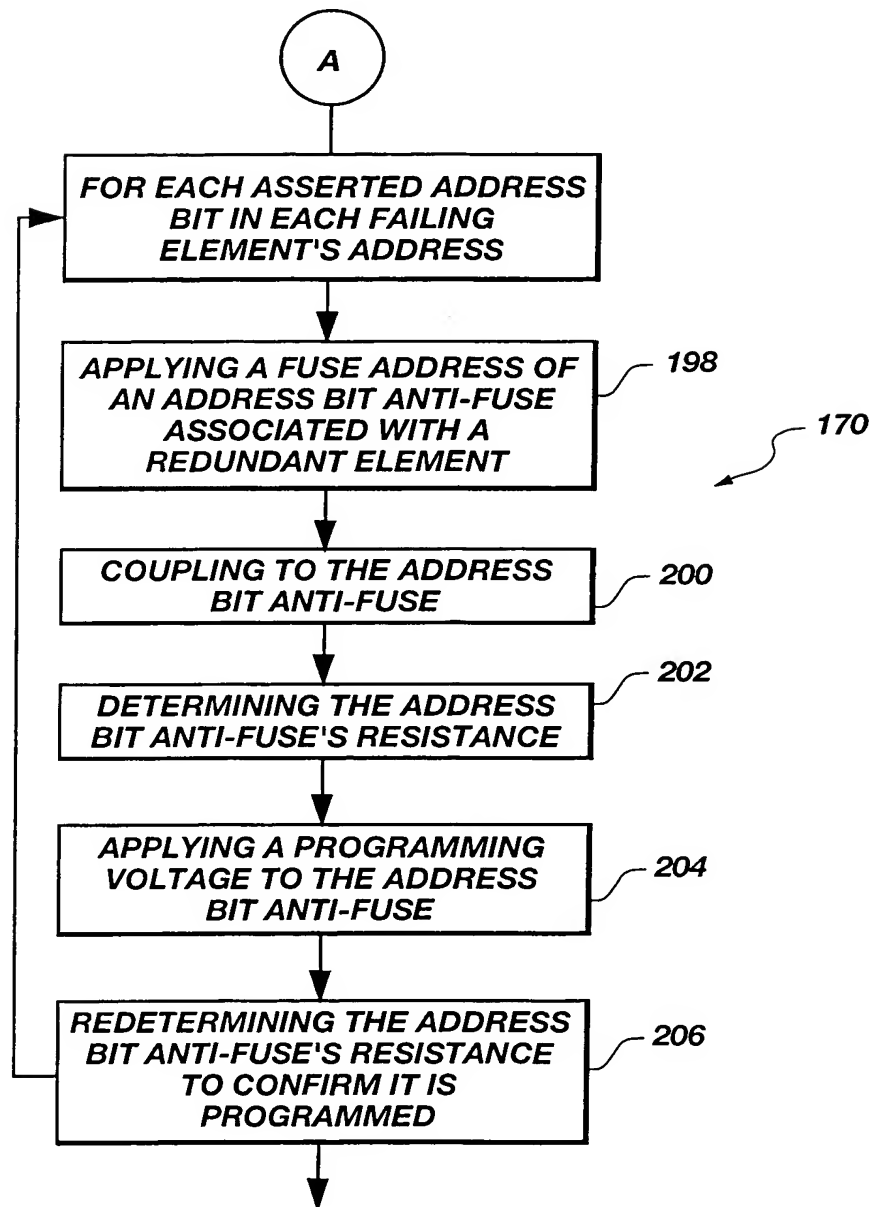


Fig. 13B